

# PSC-PHY14

Simulation de marches aléatoires quantiques à l'aide de condensats d'atomes froids

Oumaima El Jaafari, Arina Ivanova, Paul Minodier, Marco Paina  
et Jonas Wehrung-Montpezat

16 mai 2023

- 1 Introduction
- 2 Quelques marches aléatoires quantiques
- 3 Dispositif expérimental de l'Institut d'Optique
- 4 Élaboration de notre algorithme
- 5 Conclusion

- 1 Introduction
- 2 Quelques marches aléatoires quantiques
- 3 Dispositif expérimental de l'Institut d'Optique
- 4 Élaboration de notre algorithme
- 5 Conclusion

## Étude des marches aléatoires quantiques

- Exemples importants
- Marches discrètes et continues
- Réalisations expérimentales aujourd'hui

## Mesure de l'impulsion d'une particule

- mesure des trois composantes de l'impulsion de particules
- mesure résolue individuellement
- mesure d'un grand nombre de particules

## Étude de la fonction d'onde d'une particule

- condensat d'atomes d'Hélium (environ  $10^5$  particules)
- évolution sous l'effet d'un hamiltonien
- mesure de la distribution dans l'espace des impulsions

### Recherche d'algorithmes à implémenter

- Algorithme de Grover (recherche d'un sommet dans un graphe en  $O(\sqrt{N})$ )
- Création d'un algorithme adapté au dispositif de l'Institut d'Optique

### Résultats

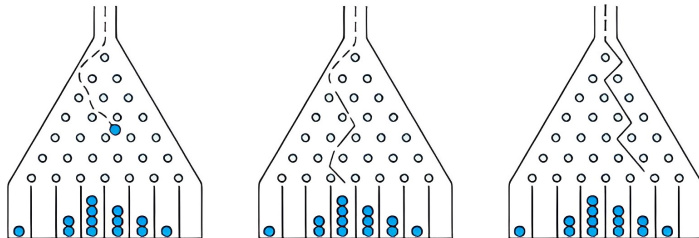
Création d'un algorithme qui trouve un sommet sur un réseau en :

- $O(\sqrt{N})$  pour un réseau à 2 dimensions
- $O(\sqrt{N})$  pour un réseau à 3 dimensions, meilleure stabilité

- 1 Introduction
- 2 Quelques marches aléatoires quantiques
- 3 Dispositif expérimental de l'Institut d'Optique
- 4 Élaboration de notre algorithme
- 5 Conclusion

# Marches aléatoires

## Marche classique



### Caractéristiques de la marche

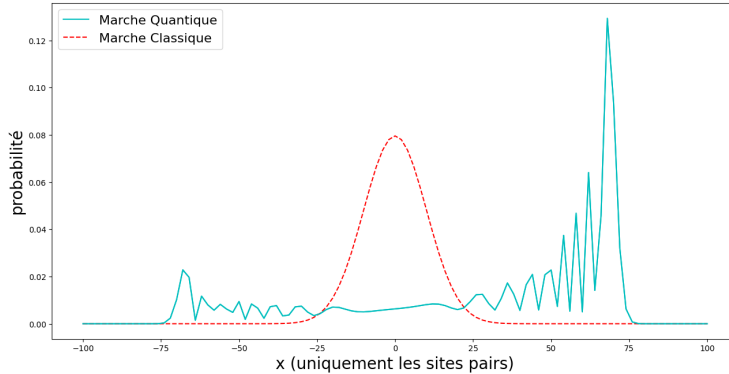
- Distribution : gaussienne
- Écart type :  $\sigma = O(\sqrt{N})$



# Marches aléatoires quantiques

## Marche discrète (DTQW)

DTQW après 100 pas



# Marches aléatoires quantiques

## Marche discrète (DTQW)

### Caractéristiques de la marche

- Écart type :  $\sigma = O(N)$
- ⇒ **accélération quadratique** de la marche

### Technique du *Coin-Toss*

- *Coin* : mélange des spins
- *Shift* : déplacement de la particule

# Marches aléatoires quantiques

## Marches discrètes (DTQW)

*Coin* : opérateur de mélange des spins

$$\hat{C} = \frac{1}{\sqrt{2}} \begin{pmatrix} 1 & 1 \\ 1 & -1 \end{pmatrix}$$

$$|\uparrow\rangle \longrightarrow \frac{1}{\sqrt{2}}(|\uparrow\rangle + |\downarrow\rangle)$$

$$|\downarrow\rangle \longrightarrow \frac{1}{\sqrt{2}}(|\uparrow\rangle - |\downarrow\rangle)$$

Fig. 1: Action de l'opérateur de *Coin*

# Marches aléatoires quantiques

## Marches discrètes (DTQW)

### *Shift* : opérateur de translation

$$\hat{T} = \sum_{x=-\infty}^{\infty} |x-1, \downarrow\rangle \langle x, \downarrow| + |x+1, \uparrow\rangle \langle x, \uparrow|$$

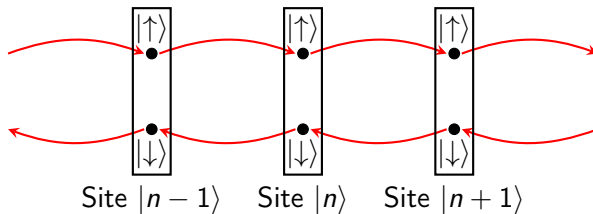


Fig. 2: Action de l'opérateur de *Shift*

# Marches aléatoires quantiques

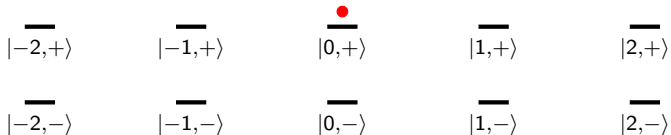
## Marches discrètes (DTQW)

### Opérateur d'évolution

$$\hat{U} = \hat{T} \hat{C}$$
$$|\psi_n\rangle = \hat{U}^n |\psi_0\rangle$$

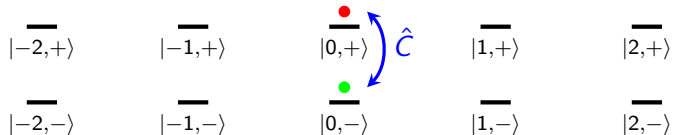
# Marches aléatoires quantiques

## Marches discrètes (DTQW)



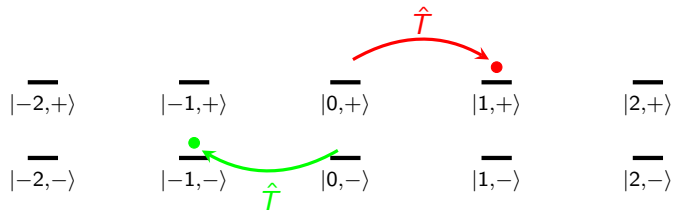
# Marches aléatoires quantiques

## Marches discrètes (DTQW)



# Marches aléatoires quantiques

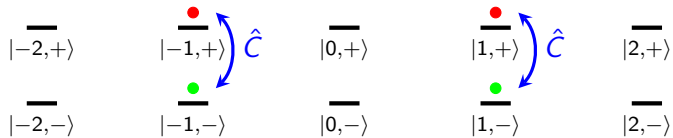
## Marches discrètes (DTQW)





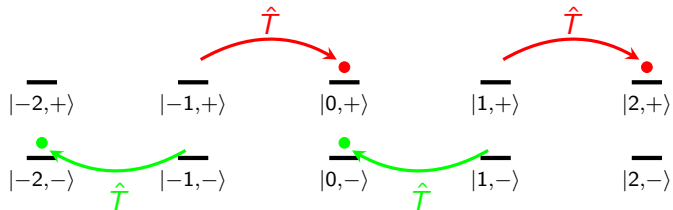
# Marches aléatoires quantiques

## Marches discrètes (DTQW)



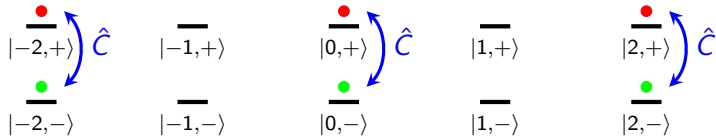
# Marches aléatoires quantiques

## Marches discrètes (DTQW)



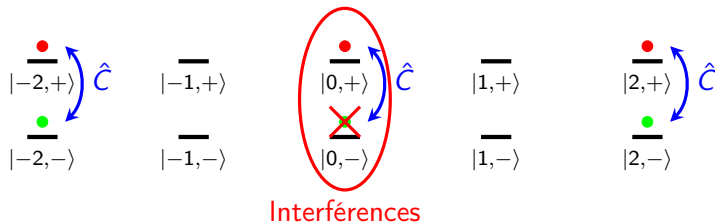
# Marches aléatoires quantiques

## Marches discrètes (DTQW)



# Marches aléatoires quantiques

## Marches discrètes (DTQW)



# Marches aléatoires quantiques

## Marche discrète (DTQW)

DTQW après 100 pas

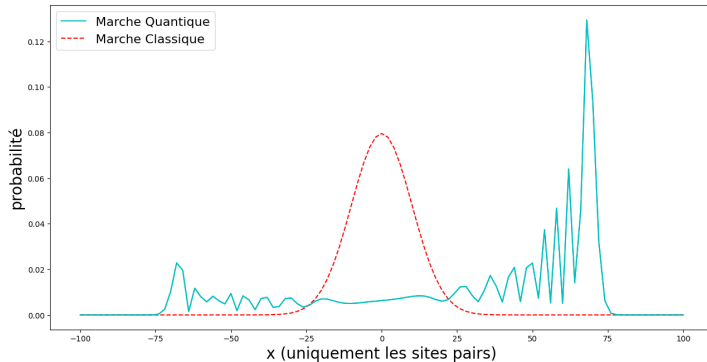


Fig. 3: Distribution de la marche pour  $|\psi_0\rangle = |0, \uparrow\rangle$

# Marches aléatoires quantiques

## Marche discrète (DTQW)

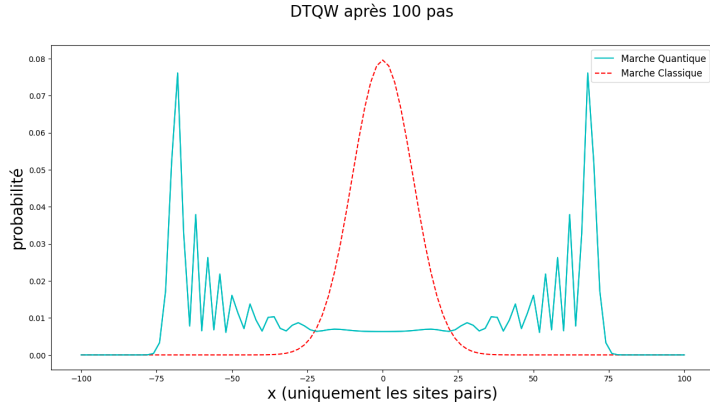


Fig. 4: Distribution de la marche pour  $|\psi_0\rangle = \frac{1}{\sqrt{2}}(|0, \uparrow\rangle + i|0, \downarrow\rangle)$

# Marches aléatoires quantiques

## Marche continues (CTQW)

### Equation de Schrödinger

$$i\hbar \frac{\partial}{\partial t} |\psi\rangle = \hat{H} |\psi\rangle$$

### Solution pour un hamiltonien indépendant du temps

$$|\psi(t)\rangle = e^{-\frac{it}{\hbar} \hat{H}} |\psi(0)\rangle$$

Les coefficients de l'hamiltonien définissent la dynamique de la marche !

# Marches aléatoires quantiques

Lien discret-continu

## Application d'hamiltoniens sur des durées bien choisies

- 1. mélange de l'état interne (*Coin*)
- 2. transitions (*Shift*)

## Regroupement de sites pairs et impairs pour encoder l'état interne discret

$$|n, +\rangle = |2n\rangle$$

$$|n, -\rangle = |2n+1\rangle$$

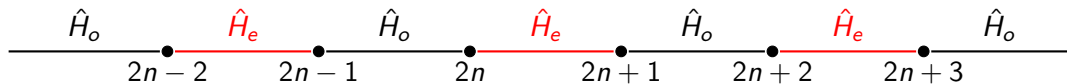


Fig. 5: Schéma de la discrétisation à 1D



- 1 Introduction
- 2 Quelques marches aléatoires quantiques
- 3 Dispositif expérimental de l'Institut d'Optique**
- 4 Élaboration de notre algorithme
- 5 Conclusion

### Réseau d'impulsions

- Site  $|n\rangle \Leftrightarrow$  Impulsion  $\hat{p} = 2n\hbar k$
- Marcheur  $\Leftrightarrow$  Particule
- Distribution de la marche  $\Leftrightarrow$  Fonction d'onde de la particule

### Transitions à deux photons

- absorption d'un photon du champ  $\vec{E}^+$
  - réémission stimulée d'un photon du champ  $\vec{E}_n^-$
- ⇒ modification aléatoire de l'impulsion de la particule

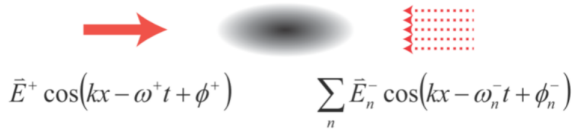


Fig. 6: Disposition des lasers  
(Gadway 2015)

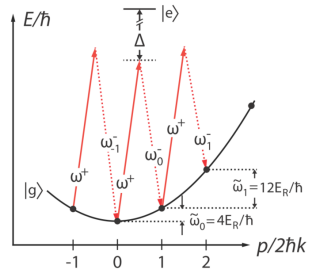


Fig. 7: Niveaux d'énergie de l'atome

### Hamiltonien effectif

$$\hat{H}_{int} = \sum_{n \in \mathbb{Z}} t_n (e^{i\phi_n} |n+1\rangle \langle n| + e^{-i\phi_n} |n\rangle \langle n+1|)$$

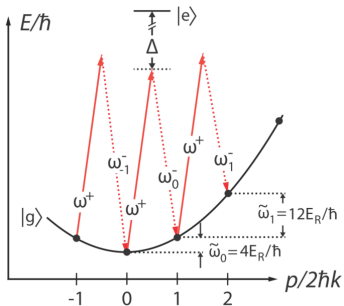


Fig. 8: Niveaux d'énergie de l'atome

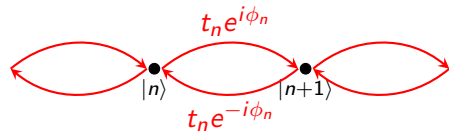
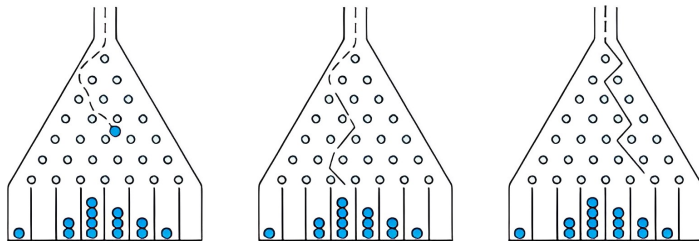


Fig. 9: Action de l'hamiltonien effectif

### Condensat d'atomes d'Hélium

- grand nombre d'atomes
- tous dans l'état d'**impulsion nulle**  $|0\rangle$



- 1 Introduction
- 2 Quelques marches aléatoires quantiques
- 3 Dispositif expérimental de l'Institut d'Optique
- 4 Élaboration de notre algorithme**
- 5 Conclusion

# Algorithme de Grover

## État initial de la particule

$$|\psi_0\rangle = \frac{1}{\sqrt{N}} \sum_{i=0}^{N-1} |i\rangle$$

À cette particule sont appliqués successivement les opérateurs suivants.

## Oracle & Inversion par la moyenne

$$\hat{O} = 1 - 2 |w\rangle \langle w|$$

$$\hat{U} = 2 |\psi_0\rangle \langle \psi_0| - 1$$

## Résultat

Au bout de  $\lfloor \frac{\pi}{4} \sqrt{N} \rfloor$  étapes, la mesure de la particule renvoie  $|w\rangle$  avec une probabilité 1.

# Élaboration d'un algorithme adapté

Contraintes liées à l'expérience

## Avantages

- marche quantique continue
- contrôle total des couplages entre sites voisins sur le réseau
- excellente résolution lors de la mesure

## Contraintes

- pas d'autres couplages qu'entre sites voisins sur le réseau
- état initial localisé sur un unique site
- amélioration par rapport au cas classique



# Élaboration d'un algorithme adapté

## Approche

### Principe de notre approche

- recherche d'un site marqué  $|w\rangle$
- couplage différent avec ce site marqué  $|w\rangle$
- mesure de l'impulsion au bout d'un temps bien choisi

Il s'agit alors de déterminer l'**état initial** de la particule, l'**hamiltonien** qui va définir la dynamique de la marche ainsi que la **durée** de la marche.

# Élaboration d'un algorithme adapté

## Construction de l'état initial

Dans tous les algorithmes de recherche que nous avons pu rencontrer, l'état initial était systématiquement **uniformément distribué** sur l'ensemble des sites.

### État initial retenu

$$|\psi_0\rangle = \frac{1}{\sqrt{N}} \sum_{i=0}^{N-1} |i\rangle$$

# Élaboration d'un algorithme adapté

## Construction de l'état initial

### État initial avec le dispositif

$$|\psi(t=0)\rangle = |0\rangle$$

### Hamiltonien appliqué dans un premier temps

$$\hat{H} = \sum_{j=1}^N \hbar\Omega |j\rangle \langle 0| + \text{h.c.}$$

Il est possible de se contenter d'une distribution **gaussienne**.

# Élaboration d'un algorithme adapté

## Choix de l'hamiltonien

### Hamiltonien retenu

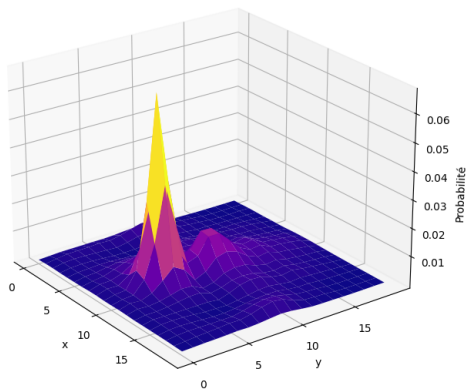
$$\hat{H}(\gamma) = \hbar\Omega \begin{pmatrix} 0 & 1 & 0 & 0 & 0 & 0 \\ 1 & 0 & 1 & 0 & 0 & 0 \\ 0 & 1 & 0 & \gamma & 0 & 0 \\ 0 & 0 & \gamma & 0 & \gamma & 0 \\ 0 & 0 & 0 & \gamma & 0 & 1 \\ 0 & 0 & 0 & 0 & 1 & 0 \end{pmatrix}$$

avec  $\gamma$  un paramètre à **optimiser**. Le **temps d'application** de cet hamiltonien devra aussi être bien choisi.

# Élaboration d'un algorithme adapté

## Résultat

Particule au premier pic

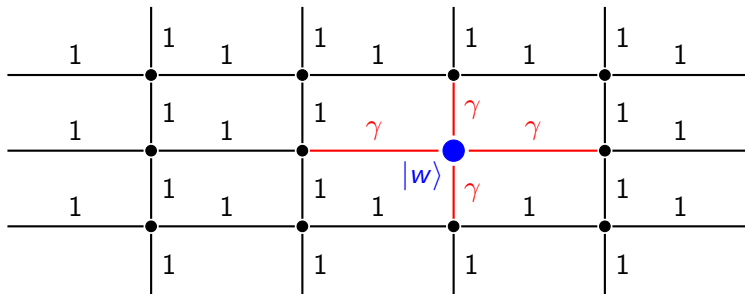


# Élaboration d'un algorithme adapté

## Optimisation des paramètres

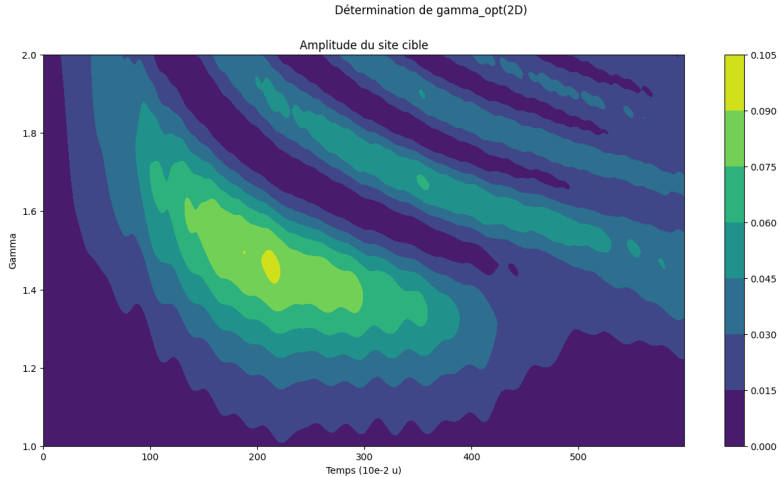
### $\gamma$ optimal

- $\gamma_{\text{opt}}$  dépend de la dimension de la marche (1D,2D,3D)
- $\gamma_{\text{opt}}$  est **indépendant du nombre de sites**



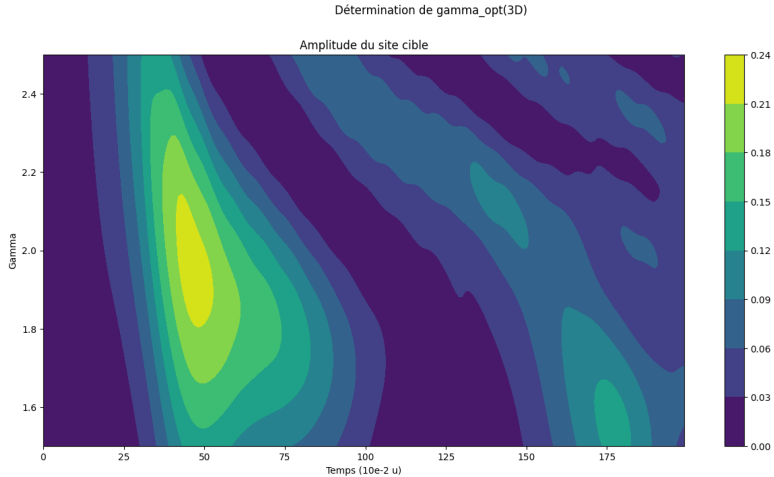
# Élaboration d'un algorithme adapté

## Optimisation des paramètres



# Élaboration d'un algorithme adapté

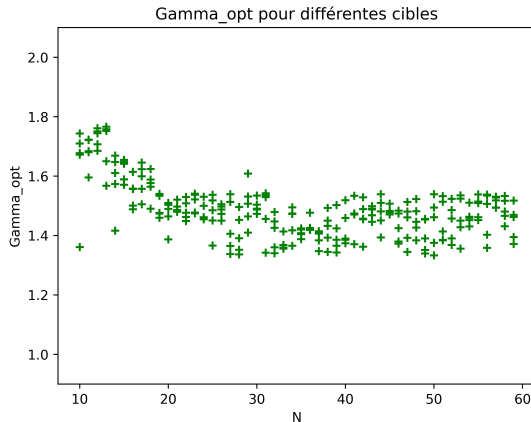
## Optimisation des paramètres





# Élaboration d'un algorithme adapté

## Optimisation des paramètres



# Élaboration d'un algorithme adapté

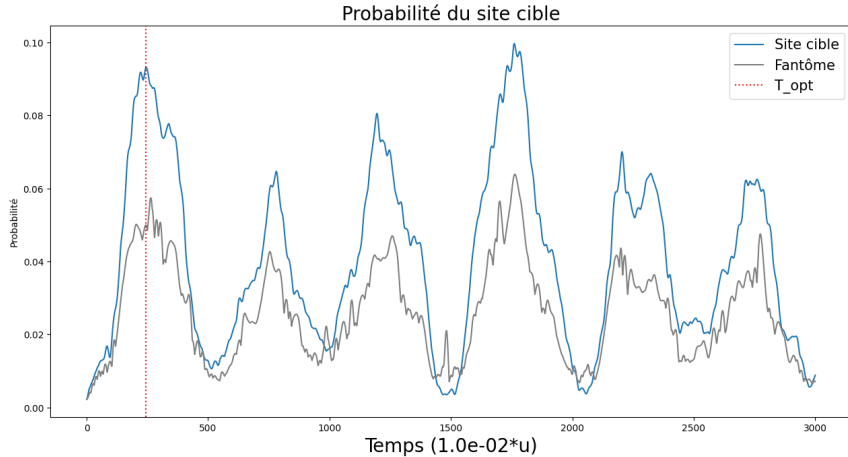
## Optimisation des paramètres

### $\tau$ optimal

- $\tau_{\text{opt}}$  dépend de la **dimension** (1D,2D,3D) du réseau
- $\tau_{\text{opt}}$  dépend du **nombre de sites** du réseau

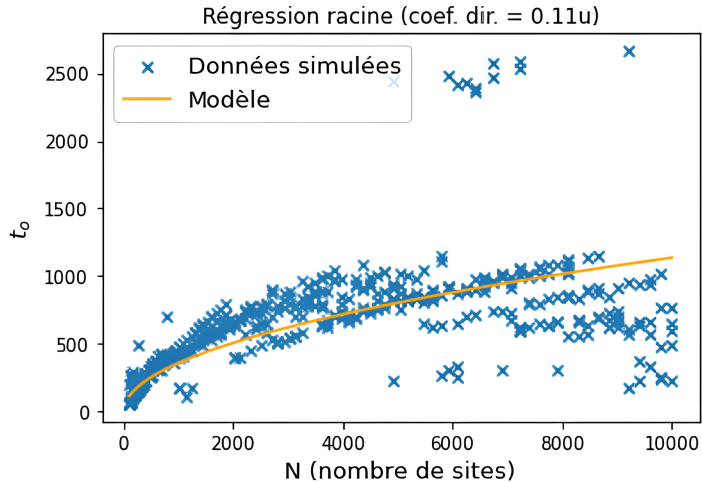
# Élaboration d'un algorithme adapté

## Optimisation des paramètres



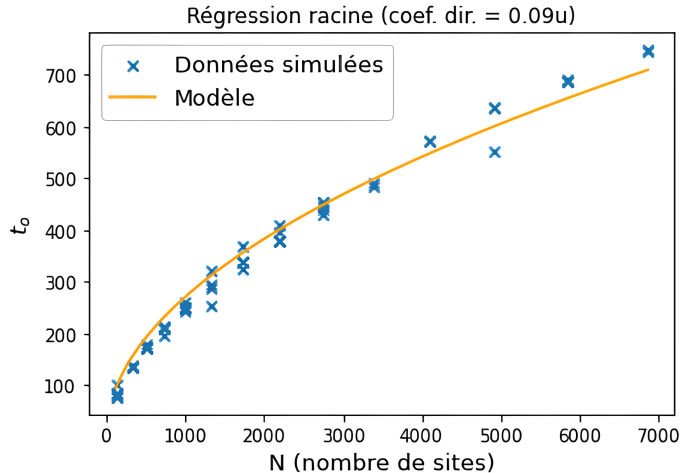
# Élaboration d'un algorithme adapté

## Optimisation des paramètres



# Élaboration d'un algorithme adapté

## Optimisation des paramètres



# Élaboration d'un algorithme adapté

## Paramètres optimaux

### Résultats à 2 dimensions

$$\gamma_{opt} = 1.4$$

$$\tau_{opt} \sim 0.11 \frac{2\pi}{\Omega} \sqrt{N}$$

### Résultats à 3 dimensions

$$\gamma_{opt} = 2.0$$

$$\tau_{opt} \sim 0.09 \frac{2\pi}{\Omega} \sqrt{N}$$

⇒ meilleure résolution à 3D qu'à 2D ou 1D

## Propriétés de l'algorithme

- compatible avec dispositif de l'Institut d'Optique
- complexité meilleure que linéaire
- parvient à tirer parti des trois dimensions

## Limites de l'analyse

- difficultés de simuler un processus quantique avec un ordinateur classique
- difficultés à dégager un comportement asymptotique
- difficultés à la construction de l'état initial de la particule

- 1 Introduction
- 2 Quelques marches aléatoires quantiques
- 3 Dispositif expérimental de l'Institut d'Optique
- 4 Élaboration de notre algorithme
- 5 Conclusion**



## Dispositif de l'Institut d'Optique

Opportunité unique de faire une **marche aléatoire quantique continue à 3 dimensions dans l'espace des moments**.

Quelle application ?

## Un algorithme compatible

Possibilité de trouver un sommet sur un réseau en  $O(\sqrt{N})$ . Meilleurs résultats en 3D.

### Condensat de Bose-Einstein

Nombre de particules :  $10^5$

État initial d'impulsions envisageable :  $\sigma = 4 - 5$

### Réalisation de la marche

Fréquence de  $H(\gamma)$  :  $\Omega \sim 20$  kHz

Temps d'application de l'hamiltonien :  $\tau \sim 300 \mu s$

Temps maximal permis par le dispositif :  $t_{\max} = 15$  ms

### Problème

Couplages entre non-voisins impossibles, comment étaler uniformément la particule ?

### Solution

Isolant de Mott : particules localisées dans l'espace des positions  $\Rightarrow$  distribution gaussienne dans l'espace des impulsions.